

中国科学院海洋研究所編輯

# 海 洋 科 学 集 刊

STUDIA MARINA SINICA

2

科学出版社

1962年12月

## “海洋科学集刊”編輯委員會

主任委員	曾呈奎
副主任委員	張璽
委員	毛漢礼 吳尚惠
	張璽 張幸威
	曾呈奎

## 海洋科学集刊 第2集

Studia Marina Sinica, No. 2

---

編輯者 中國科學院海洋研究所

出版者 科學出版社  
北京朝陽門大街 117 号  
北京市書刊出版業營業許可證出字第 061 号

印刷者 中國科學院印刷厂

總經售 新華書店

---

(京) 謹林本: 1—205 1962年12月出版  
報紙本: 1—695

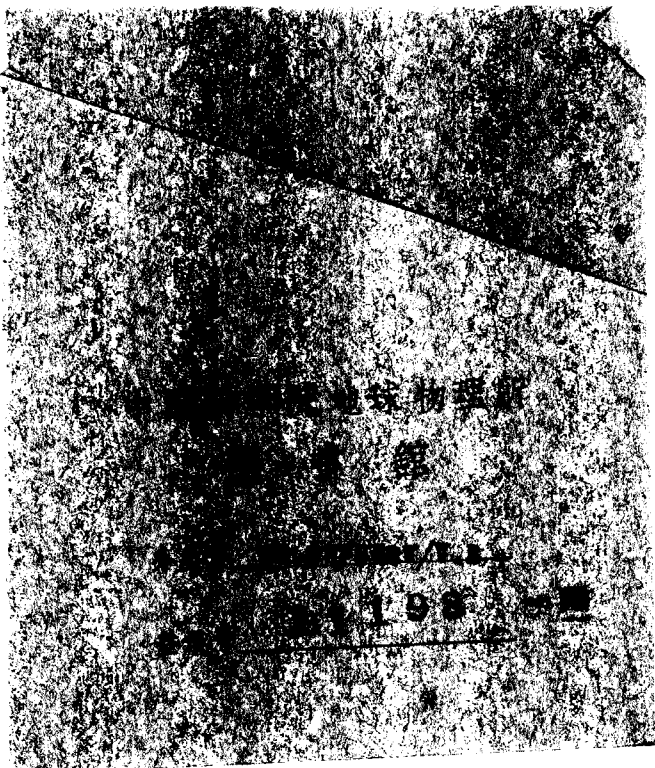
定价: 謹林本 2.10 元  
報紙本 1.40 元

# 海洋科学集刊 第2集

(1962年12月)

## 目 录

- 大黃魚耳石的輪紋形成周期及其年齡鑑定問題 ..... 徐恭昭、羅秉征、吳鶴洲、王可玲 (1)  
浙江、江蘇近海大黃魚的食性及攝食的季節變化 ..... 楊紀明、鄭 严 (14)  
大黃魚卵子和仔、稚魚的形態特徵 ..... 沙學紳 (31)  
浙江近海大黃魚的性成熟特性 ..... 徐恭昭、吳鶴洲 (50)  
浙江岱衢洋大黃魚個體生殖力的研究 ..... 鄭文蓮、徐恭昭 (59)  
大黃魚形態特徵的地理變異與地理種羣問題 ..... 田明誠、徐恭昭、余日秀 (79)  
大黃魚種羣結構的地理變異 ..... 徐恭昭、羅秉征、王可玲 (98)  
黃海多毛類環節動物的研究 VI. 游走亞綱的增補 ..... II. B. 烏沙科夫、吳寶鈴 (110)



# STUDIA MARINA SINICA, No. 2

(December, 1962)

## CONTENTS

- The Cycle of Ring-formation on the Otolith of the Large Yellow Croaker, *Pseudosciaena crocea* (Richardson), with Special Reference to Age-determination ..... Xu Gong-zhao, Luo Bing-zheng, Wu Hao-zhou and Wang Ke-ling (13)
- Feeding Habit and Seasonal Variation of the Food Contents of the Large Yellow Croaker, *Pseudosciaena crocea* (Richardson), off Chekiang and Kiangsu ..... Yang Ji-ming and Zheng Yan (29)
- A Description of Eggs and Larvae of the Large Yellow Croaker, *Pseudosciaena crocea* (Richardson) ..... Sha Xue-shen (43)
- On the Peculiarities of Sexual Maturation of the Large Yellow Croaker, *Pseudosciaena crocea* (Richardson), off Chekiang ..... Xu Gong-zhao and Wu Hao-zhou (58)
- A Study of the Individual Fecundity of the Large Yellow Croaker, *Pseudosciaena crocea* (Richardson), off Taichu-yang, Chekiang ..... Zheng Wen-lian and Xu Gong-zhao (77)
- The Geographical Variation of the Morphological Characters and the Problem of Geographical Populations in the Large Yellow Croaker, *Pseudosciaena crocea* (Richardson) ..... Tian Ming-cheng, Xu Gong-zhao and Yu Ri-xiu (97)
- The Geographical Variation of the Population Structure in the Large Yellow Croaker, *Pseudosciaena crocea* (Richardson) ..... Xu Gong-zhao, Luo Bing-zheng and Wang Ke-ling (109)
- Многощетинковые черви Желтого моря VI. Дополнения к фауне бродячих червей (POLYCHAETA, ERRANTIA) ... П. В. Ушаков и У Бао-лин (123)

## 重 要 更 正

本刊第1集184頁表4第一行“5 ml H<sub>2</sub>O (对照)”中，“5”应改为“10”。

# 大黃魚 *Pseudosciaena crocea* (Richardson) 耳石的輪紋形成周期及其年齡鑑定問題\*

徐恭昭 羅秉征 吳鶴洲 王可玲

(中国科学院海洋研究所)

为了滿足漁業經濟不斷增長的需要，就必須對魚類，特別是重要經濟種類的生活習性進行系統的深入研究。因此，確定魚類年齡鑑定的方法，從而依據年齡的鑑定，按不同生命階段來研究魚類的生活規律，就成為最基本的問題了。

關於大黃魚的年齡鑑定問題，尚未見有專門進行研究的報導。在文獻記載上，福建水產研究所<sup>[4]</sup>和廣東水產研究所<sup>[3]</sup>曾先後用耳石和鱗片估計大黃魚的年齡，但並未對年齡鑑定的依據與方法進行分析。Irie<sup>[9][10]</sup> 則對黃花魚屬的耳石輪紋形成周期問題進行了一些觀察。

為了探討大黃魚年齡鑑定的確切方法，自 1958 年秋季起，我們展开了這方面的工作，系統地逐月搜集了大黃魚耳石、鱗片、脊椎骨等項可能供作鑑別年齡的材料。觀察結果以耳石上顯示的輪紋最為清晰而有規律，因此，我們選用耳石作為鑑定大黃魚年齡的研究對象。本文着重以浙江舟山及其鄰近海區的材料為主，對大黃魚耳石輪紋形成周期、輪紋性狀以及鑑別年輪的主要標誌等加以分析與討論。此外，對於春、秋宗幼魚第一個年輪的形成時期與鑑定方法也進行了探討。

在我們所研究的材料中，1957 年 5 月份的部分耳石是浙江溫州水產局供給的；1960 年 5—7 月份的部分幼魚耳石是浙江省漁業資源調查委員會所借給；未觀察耳石年齡的幼魚長度組成的季節變化資料則是沙學紳和楊紀明同志供給的。中國科學院地質古生物研究所曾協助我們設計了耳石磨片機，均此志謝。

除作者等外，全部耳石磨片工作是由滕文法同志擔任的，黃頌芳同志參加了資料的統計，林汝范同志協助了資料的搜集工作。

本文承張孝威教授熱情指導，作者謹致謝忱。

## 一、大黃魚耳石的形態和材料與方法

自 1957 年 5 月至 1960 年 11 月，主要從 1958 年 9 月開始至 1959 年 12 月止，我們共搜集了大黃魚標本 5,145 尾。各月份和各輪組觀察標本數如表 1 所示。

\* 中國科學院海洋研究所調查研究報告第 181 號。

1) 仅見到摘要。

表 1 各月份和各輪組大黃魚耳石的觀察標本數

Table 1. Number of otoliths examined monthly for each ring-group

月份 <sup>1)</sup>	輪組 <sup>2)</sup>																													標本數 <sup>3)</sup>
	0	1	2	3	4	5	6	7	8	9	10	11	12	13	14	15	16	17	18	19	20	21	22	23	24	25	26	27	28	29
I	29	30	5	—	—	—	—	4	5	7	12	7	6	6	8	19	9	17	16	12	15	12	10	12	4	4	—	—	—	249
II	4	10	4	2	1	1	—	—	—	—	2	1	—	2	2	4	—	5	14	6	8	9	5	11	2	—	1	—	—	94
III	96	—	—	—	—	1	—	—	—	—	5	3	2	8	5	2	6	6	11	8	14	9	8	6	2	1	—	—	—	193
IV	72	14	44	18	22	20	19	11	18	16	16	9	14	22	1	6	1	3	6	3	3	2	1	1	—	1	—	—	1	345
V	1	43	18	23	28	46	40	14	13	22	12	34	4	5	13	2	7	3	1	3	—	2	4	—	1	—	—	—	—	339
VI	55	34	1	4	6	45	39	31	25	43	17	37	12	5	23	22	2	6	2	3	1	3	1	—	—	—	—	—	—	417
VII	—	84	4	6	18	38	39	30	15	26	11	16	10	6	6	2	1	—	—	—	—	—	—	—	—	—	—	—	—	312
VIII	47	—	2	27	48	53	75	34	13	32	9	25	5	5	10	—	6	2	—	—	—	—	1	—	—	—	—	—	—	394
IX	78	61	24	20	23	29	22	19	17	16	23	28	18	35	9	19	16	11	16	7	8	11	2	4	1	—	—	—	508	
X	116	60	13	25	21	34	11	6	8	2	7	7	1	—	—	—	—	—	—	—	—	—	—	—	—	—	—	—	311	
XI	190	11	14	28	39	51	30	15	19	8	17	9	4	9	3	1	3	1	2	1	1	1	—	—	—	—	—	—	457	
XII	5	3	11	11	8	14	6	—	5	1	11	4	26	14	7	11	3	2	10	2	2	3	1	1	—	—	—	—	161	
标本数	693	350	140	164	214	332	281	164	138	173	142	180	102	117	87	88	54	46	78	45	52	52	33	35	10	6	3	—	1	3780

Explanation: 1) Month; 2) ring-group; 3) number of specimens.

我們所用的耳石是矢耳石 (Sagitta)。两个耳石在头部听囊內的位置为左右对称，呈对向排列；上緣較薄，愈向中下部愈厚。耳石外側核心部位有許多乳狀小突起，內側上緣有两洼沟，第一洼沟位于最上緣，第二洼沟位于中上部；其它区域較平滑。耳石前部呈弧形光滑的斜坡状；后部有乳状突起和凹刻，后端部并有一指形突起(图 1)。

大黃魚耳石厚大，不能直接进行覈測。我們首先在左側耳石上通过以下两点一綫划出线条：(1) 外側最高突起的中央部位；(2) 自最高突起向下部表面可見輪紋所引伸出的垂直綫；(3) 內側第二洼沟的中段。然后用电动耳石切片机将线条的前后两端切去，制

成1.5毫米左右的粗薄片；該薄片与耳石长軸接近垂直(如图 2 所示)。粗薄片制后須先仔細检查生长中心的位置。如粗切片通过生

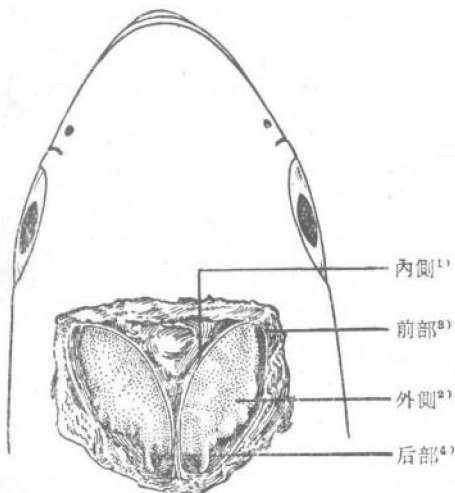


图 1 大黃魚耳石 (Sagitta) 的部位名称(周敬鏞繪)

Fig. 1. Parts of the otolith

Explanation: 1) Inner-side; 2) outer-side;  
3) anterior end; 4) posterior end.

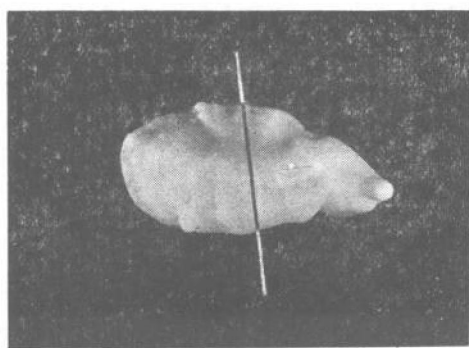


图 2 大黃魚的左耳石及其切割方向

Fig. 2. The left otolith and the plane of section

長中心，即可用電動磨片機磨光一面，用加拿大樹膠將磨光的一面固定於載玻片上；待樹膠乾燥後，再把另一面也磨光，使切片約為0.3毫米即可。如粗切片上生長中心及斷面的位置不正，則必須修磨，使其達到正確。大黃魚耳石的外形很不規則，切片和磨片時仍會遇到破碎和中心位置不正的困難。但制片經驗較多時，破損數量可以逐步減少。已制好的耳石薄片可置於雙筒解剖鏡下觀察。同一耳石的各個方向所切出的薄片上顯示出的輪紋數目，都是一致的。

耳石上的輪距是用文獻胶卷閱讀機放大的映象進行測量的，耳石薄片影象放大約280倍。這樣較之在解剖鏡下用目微尺測定要方便和迅速，而且準確得多。除了零輪組、部分1+組和個別破碎或割偏不適於測定者外，共測量了2,873尾魚的耳石制片。

## 二、耳石上輪紋的特徵

在耳石橫斷面上，可以清楚地看到由中心向內側伸出的四條輻射綫；其中有兩條延伸至上、下兩緣，將耳石橫斷面分成明顯的內、外兩部分，而另外兩條則把內側割成三個小區（圖3及4）。

耳石薄片的各部分都有同心輪。從內側部來看，兩個凹溝區域的輪紋呈弧形或曲折狀，比較模糊；而平滑區的輪紋則弧度極小，而且十分清楚。耳石薄片在入射光、暗視野下觀察時，在平滑區可看到黑色的寬帶和白色的窄帶交替排列，如圖4所示；而在透射光明視野下則寬帶為無色的明亮帶，窄帶則成為棕黃色的綫狀暗帶。明亮寬帶與暗的窄帶交替生成，組成一個完整的年帶；暗的窄帶即通常所稱的“年輪”，（詳細證明及形成時間見第三節“耳石輪紋形成的周期與時間”）。所以，暗窄帶和後一明亮寬帶的交界處就是兩個完整年帶的界限<sup>[7,8,11]</sup>。耳石外側部的輪紋性狀和內側部的有很大區別；第一、二輪（少數第三輪及以上）幾乎都呈封閉圈狀，寬而清楚。從第三輪開始則大多數樣品的輪紋由於排列很緊密而呈波紋狀，無法計數；並在內外兩側交界處被輻射綫所割斷。總的來說，耳石內側平滑區的輪紋極清楚；因此，選作年齡鑑定之用。其餘各部分的輪紋均不易讀數，僅可供參考。

第一、二年帶在構造上比其他年帶有顯著不同，其中往往出現副輪。因此，鑑定第一

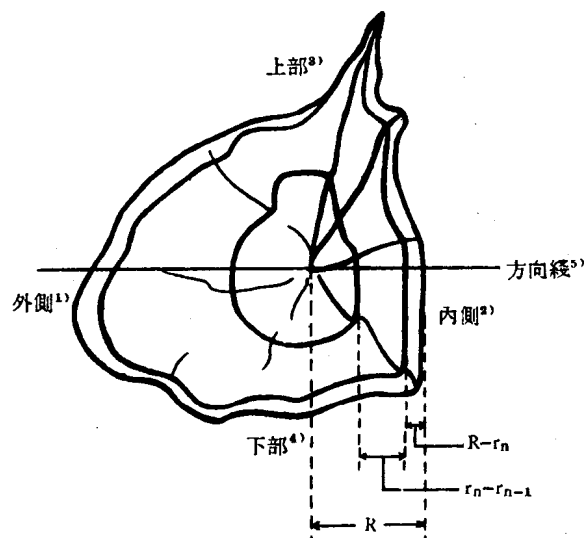


圖3 大黃魚耳石的橫斷面及其測定方位

Fig. 3. Cross section of the otolith and the scheme of measurement

Explanation: 1) Outer side; 2) inner side; 3) upper part; 4) lower part; 5) line of measurement.

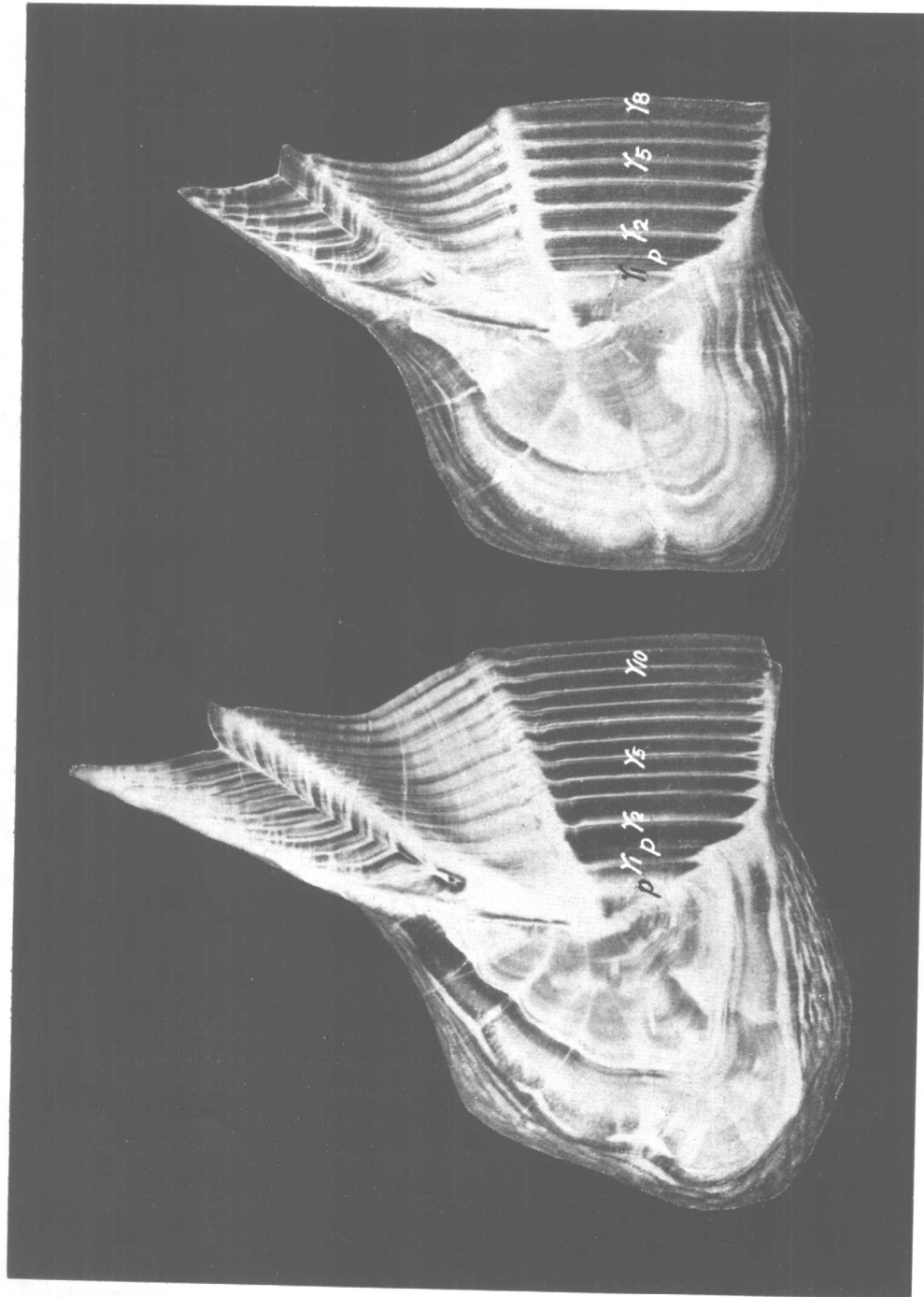


圖 4 大黃魚耳石磨片以示年輪與副輪，左 11+，右 8+  
 $r_n$ —年輪     $p$ —副輪  
Fig. 4. Cross sections of the otoliths to show the annual ( $r_n$ ) and false ( $p$ ) rings. Right 11+, left 8+.

年輪(暗窄帶)時必須十分仔細。第一輪的特徵如下：(1)在內外兩側，第一輪連續呈封閉圈狀，其輪廓與耳石斷面外形相似；(2)在耳石外側部，第一年帶與第二年帶交界處呈斷層狀；在入射光暗視野下，從中心部到第一輪邊緣雖有弱紋或副輪(詳見下一小節)，但基本上都呈白色；第一輪的外緣極明顯而顏色更白，但第二年帶開始處卻顏色很淡；因此，使整個第一年帶就象鑲嵌上去似的；(3)耳石內側部平滑區的第一輪較其他的為寬，顏色也白些；雖然第一個窄帶與第二年帶的寬帶的界限往往不如以後各輪來得清楚，但是，只要將外側部第一輪封閉圈的明顯界線向內側引延過來看，便也能肯定地辨認出第一輪的確切部位。

在耳石中心區，通常有一個或一個以上的呈微弱狀的副輪，形狀一般呈橢圓形；這種副輪不但在交界處不呈斷層狀，而且周界也不是很完整的。依據這些特點就很容易和第一輪相區別。在第一輪和第二輪間也往往出現一個副輪，這種副輪亦呈封閉圈狀(圖4)，有時容易與第一輪相混淆，但它們和第一輪的主要區別是耳石外側部的輪圈不呈斷層狀。中心與第一輪之間的副輪，在透射光明視野下觀察時，在耳石內側部呈暗黑色，猶如塗上的墨綫；而年輪則如同以後的年輪一樣呈棕黃色。第一輪與第二輪之間的副輪，在耳石內側平滑區雖與年輪相似，但較細弱而且色淺；在耳石洼溝區這種副輪的延續帶十分模糊不清，甚至是折斷的。這種副輪有時在其他年輪之間也偶有發現。此外，在中心和第一、二輪間還經常出現一些細弱而呈波紋狀的副輪，但它們是不規則的。根據我們的經驗，按以上所述特徵來區別大黃魚耳石上的副輪並不困難。

### 三、輪紋形成的周期與時間

關於魚類鱗片、耳石、或骨骼上的輪紋是否就是年輪的證明方法，有的學者曾依資料來源歸納為5種<sup>[8,11]</sup>。其中對海洋魚類來說，比較切實適用而愈來愈廣泛被應用的是觀察鱗片等邊緣狀況的周年變化。

我們對3,780個大黃魚耳石邊緣狀況周年觀察的結果如下：透射光明視野下的暗窄帶(即入射光暗視野下的白色窄帶)在邊緣出現的時期為1—6月份，其百分率以4—6月份為最高；其餘各月，耳石邊緣全部都是明亮的(暗視野下為黑色的)。從一個年帶來說，7—12月份首先形成明亮寬帶(或黑色寬帶)，次年1—6月則主要形成暗的窄帶(或白色窄帶)。特別值得指出的是：暗窄帶出現的時間雖然延續半年之久，但在不同輪組(即年齡組)中，暗窄帶出現的時間却有很大的區別(表2，圖5)：(1)在18輪以上的高輪組中，在1月份已開始出現暗窄帶；(2)在14—17輪組中，暗窄帶開始出現的時間較遲，在2或3月份；(3)在1—13輪組中則最晚，要到4月份才開始。但是，在所有觀察過的樣品中，不論低齡組或高齡組，暗窄帶形成的主要時間都在5、6月份。到7月份，耳石邊緣就都已進入新的年帶，但明亮寬帶的寬度還很小。

從以上的分析，可以得出結論：浙江近海大黃魚(包括春宗與秋宗)耳石上輪紋的形成

表2 大黄鱼不同輪組耳石年輪的形成时期  
Table 2. Period of formation of annual rings on the otoliths  
in different ring-groups

月份 <sup>1)</sup>	新輪尚未出現者(%) <sup>2)</sup> , 邊緣為明亮帶			新輪正在形成者(%) <sup>3)</sup> , 邊緣為白色帶			新輪已形成者(%) <sup>4)</sup> , 邊緣為明亮帶			不同輪組觀測標本數 <sup>5)</sup>		
	1—13	14—17	18—29	1—13	14—17	18—29	1—13	14—17	18—29	1—13	14—17	18—29*
I	100.0	100.0	91.6	0	0	8.4	0	0	0	82	53	83
II	100.0	90.9	87.9	0	9.1	12.1	0	0	0	23	11	58
III	100.0	89.5	81.4	0	10.5	18.6	0	0	0	19	19	59
IV	57.2	54.5	36.8	42.4	45.5	63.2	0.4	0	0	243	11	19
V	11.6	0	—	85.1	100.0	100.0	3.3	0	0	302	25	11
VI	0.3	0	—	75.9	83.0	80.0	23.7	17.0	20.0	299	53	10
VII	0	0	—	0	0	—	100.0	100.0	—	303	9	—

## Explanation:

1) Month; 2) percentage of the otoliths with translucent margin, new ring not yet appeared; 3) percentage of the otoliths with opaque margin, new rings just forming; 4) percentage of the otoliths with translucent margin, new rings fully formed; 5) number of specimens examined. \*) ring-groups.

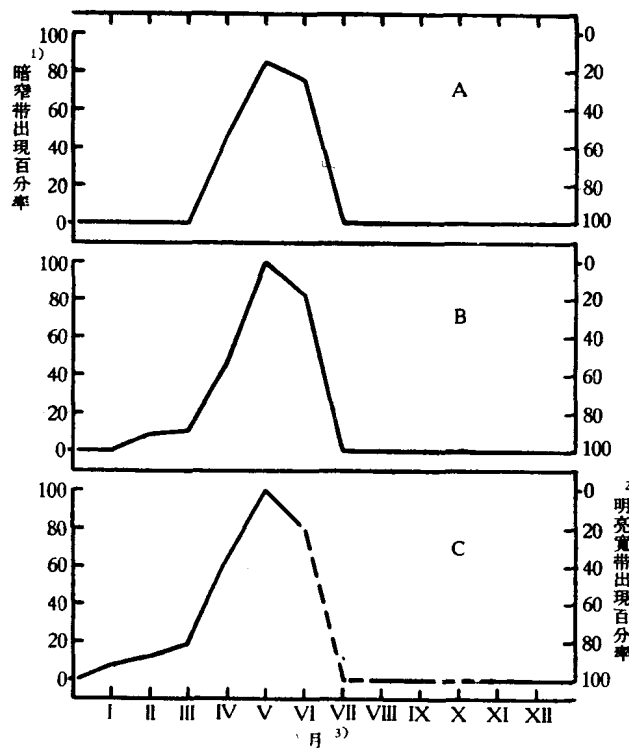


图5 耳石边缘暗色窄带与明亮宽带出现的时间

A. 1—13 輪組; B. 14—17 輪組; C. 18—29 輪組。

Fig. 5. Percentage of otoliths with opaque and translucent zones at the margin. A. 1—13 ring-groups; B. 14—17 ring-groups; C. 18—29 ring-groups.

Explanation: 1) Percentage of opaque margin;

2) percentage of translucent margin; 3) month.

周期为一年，每年在一定的季节中形成一个明亮寬帶（或黑色寬帶）和一个暗窄帶（或白色窄帶）。明亮寬帶与暗的窄帶組成一个年帶，而其中的窄帶即为通常所称的“年輪”。

某些学者利用数学公式計算各年齡組鱗片或耳石等邊緣周年的增長幅度以了解其生長規律，并証明輪紋形成的周期與時間。为了进一步証实上述結果的准确性，我們也进行了計算。公式有两个。第一<sup>[6,10]</sup>，为耳石（或鱗片、骨骼）邊緣增長幅度与其半徑的比值—— $I = \frac{R - r_n}{R}$ 。这个計算式的缺点在于分母，即鱗片（或耳石、骨骼）半徑（R）值，会因年齡的增加而变大，以致在愈高的輪組中这种比值也愈小；所以在不同輪組中，其比值的差別显得过于悬殊。

第二計算式<sup>[5]</sup>較精確。計算式為： $I = \frac{R - r_n}{r_n - r_{n-1}}$ ，即根據耳石邊緣增長幅度( $R - r_n$ )與耳石最後兩輪之間的距離( $r_n - r_{n-1}$ )的比值變化，作為確定輪紋形成週期與時間的指標。從計算式的各項組成可以看出，耳石邊緣越寬， $I$ 值就越大；反之， $I$ 值就越小。在新輪形成之初時， $I$ 值極小，接近於0；而當 $I$ 值逐漸增大，當其接近單位值時( $I \approx 1$ )，即邊緣幅度接近前兩個輪間距的寬度時，則表明此時新輪即將出現。

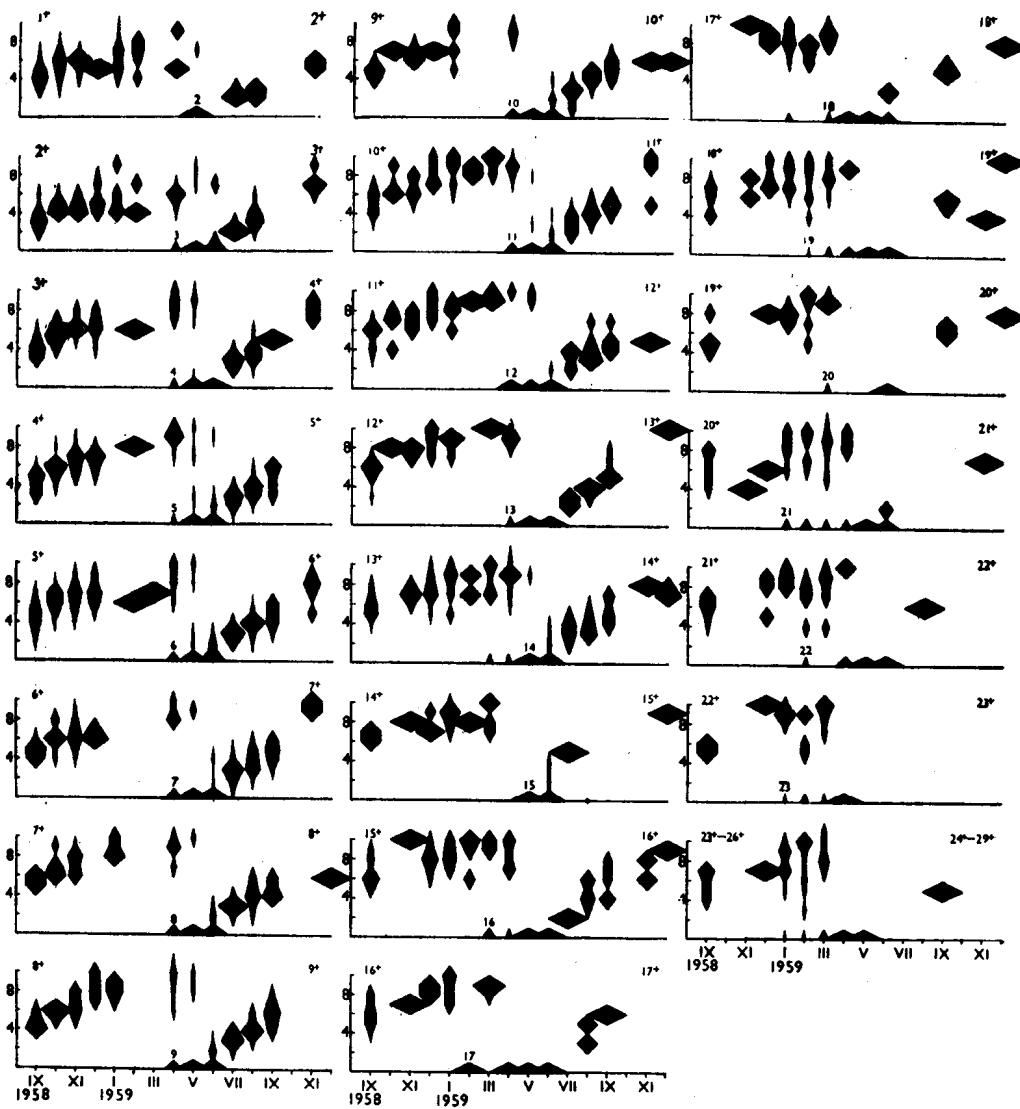


圖 6 大黃魚各輪組耳石邊緣增長率 ( $I = \frac{R - r_n}{r_n - r_{n-1}} \times 10$ ) 的周年變化(%)

Fig. 6. Monthly changes of the terminal index in each ring of the otolith

我們採用第二計算式對15個月(缺1959年10月)的連續材料計算了各輪組逐月 $I$ 值的變化。從圖6中可以看出，在各個輪組中，都是當新輪形成以後， $I$ 值就逐漸增加；當 $I$ 值接近或等於單位值時，就生成另一個新輪了。它的增長規律十分清楚，沒有例外現

象。这一事实証實了我們所觀察的各个年帶或年輪(暗窄帶)都确是每年生成一次的。

另外还能看出,在一年中耳石邊緣生长的速度并不一致。自 11 月至次年 4 月前后,  $I$  值的分布基本上是稳定的,这个时期耳石的增长处于极为緩慢而近乎停滞的状况。但到年輪形成以后,从 5 月到 11 月間,  $I$  值則逐漸显著地增大,这是耳石快速增长的时期。在一定程度上,这也是魚体季节生长的反映,亦即大黃魚在夏、秋季生长迅速,而冬春季則为生长緩慢的时期。当然,耳石的生长与魚体的生长在時間上是否完全相符合,或者还是有先有后,尚需作进一步的探討。

鑑定魚类年龄时,明了年輪形成的准确時間不仅有理論上的重要性,而且有很大的实践意义。年輪形成的时间往往因生命发育阶段的不同而有差异,或者是延續時間較長;如果沒有查明这一真相,那末在分析魚羣的年龄組成时,就难免在对样品所属年龄組的划分上要发生錯誤,从而影响到世代数量估計的准确性与降低数量預報的可靠性。大黃魚的年輪形成时期正是春季魚羣进行生殖的季节,因此利用耳石来分析大黃魚春季生殖魚羣的年龄組成时,就必须格外慎重地觀察其邊緣的生长情况,从而准确地判断各个个体所属的出生年份。

#### 四、春宗和秋宗第一輪形成周期的探討

大黃魚不仅存在不同的地理种羣,而且在同一海区也还存在着依生殖季节不同而形成的所謂春宗和秋宗的生物學宗<sup>[1,2]</sup>。春宗的生殖季节在东海为 5—6 月份,秋宗生殖期則为 9—10 月,生殖期都延續达两个月左右。大黃魚春、秋宗之間在繁殖生物学上的显著不同是否在它們的第一个年輪的形成周期上亦有差別?为此,我們对春、秋宗幼魚的长度組成和耳石邊緣結構作了初步的分析。

图 7 是各月份幼魚长度組成分布和耳石上輪紋出現情況的分析結果。

从图 7 中可以看出,VI 月份幼魚的长度組成出現三个峯,它們的主要长度分別为 5—15 毫米,35—60 毫米和 120—160 毫米左右。根据对耳石觀察的結果,前两个峯所属长度范围內的个体均沒有出現年輪而属于 0 輪組,第三个分布峯則是 1 和  $1^+$  輪組相交叉的长度范围。这几个长度組成分布峯随着月份后移而有規律地移向右方。到了 XI 月份又出現一个长度組成为 20—50 毫米左右的魚羣,它的組成峯面在以后各月份中也是有規律地向图的右方伸延。此外,在 III—V 月份,也同样出現类似 XI 月份組成范围的幼魚。这些幼魚,从耳石的觀察都是属于 0 輪組的。

前面已經指出,东海大黃魚春宗生殖期为 5—6 月,秋宗生殖期則为 9—10 月。因此,我們有理由可以推断:在 VI 月份出現的,长度組成主峯为 5—15 毫米左右的幼魚羣(图 7 中  $R_{1a}$ )是属于該年春季所出生的幼魚。 $XI$  月 和 III—V 月出現的,长度組成主峯为 20—50 毫米左右的幼魚羣(图 7 中  $R_{1b}$ )則为秋宗在前一年 IX—X 月所出生的幼魚羣<sup>2)</sup>。 $XI$  月

2) 參見鄭嚴、沙學紳、楊紀明,1960。浙江蠟嶼島張網漁獲物中大黃魚等經濟魚類幼魚的分析。(未刊稿)

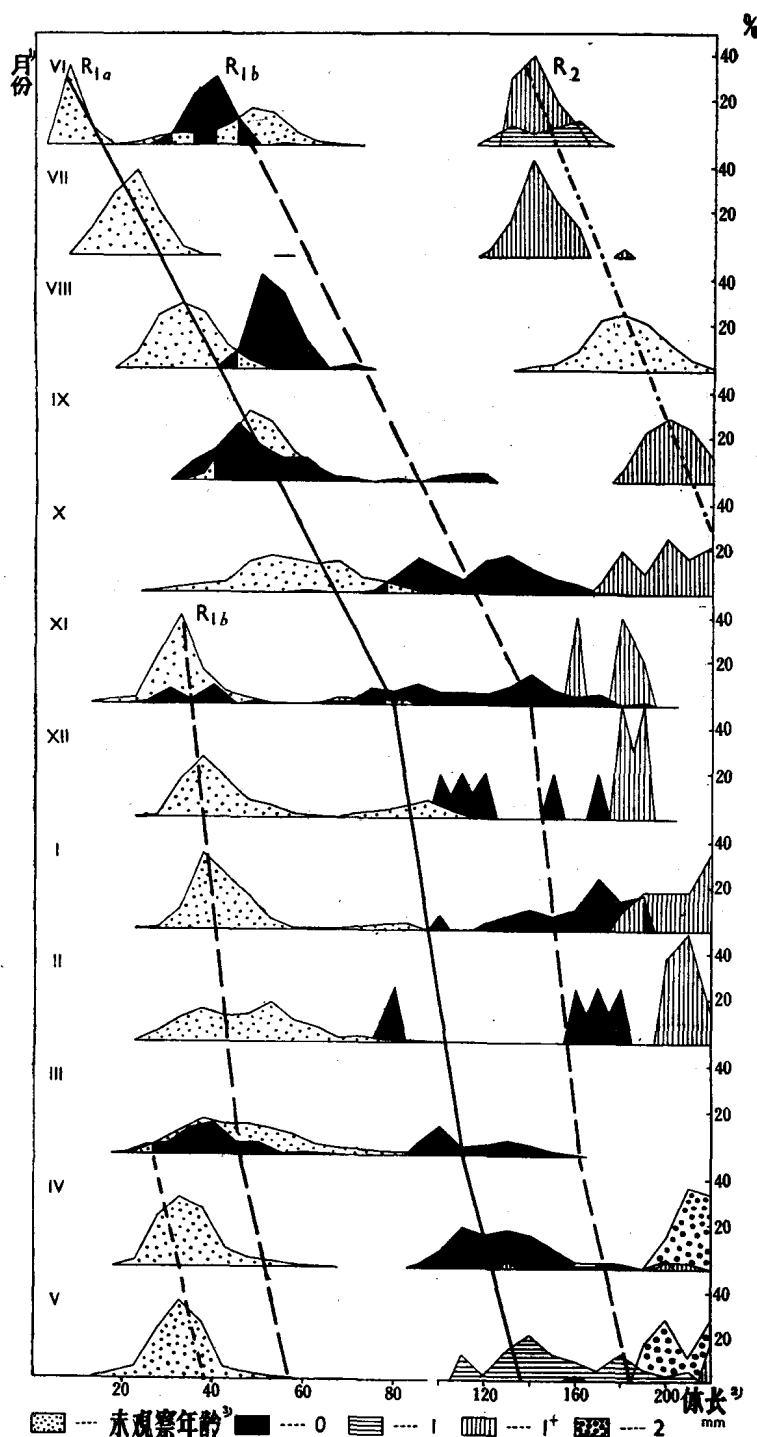


图7 大黄鱼幼鱼长度组成的季节变化和耳石轮纹的出现时期

Fig. 7. Chart showing the seasonal changes of frequency distributions of different body-length groups and the period of ring-formation on the otolith of the young fish. ( $R_{1a}$ —young of spring spawner;  $R_{1b}$ —young of autumn spawner;  $R_2$ — $1^+$ ).

Explanation: 1) Month; 2) body length; 3) specimens with no age-reading.

和 III—V 月两个幼魚羣的長度組成基本相同的原因，我們初步認為可能有两个：首先是由于性細胞分次成熟排出，因此第一批和最后一批孵出的幼魚在時間上相差一個半月之久，這樣幼魚的生長就必然不同；其次，樣品主要是從沿岸定置漁具中獲得，這樣也必然受到分布區的限制，所以在 III—V 月前一個幼魚羣的組成分布，在圖中便消失了。如果取樣方法比較全面的話，可能此時組成分布的主峯該在右方，或者在 60 毫米處尚有另一個組成分布峯出現。但是，無論如何，可以認為這兩個魚羣不會是上年或當年春季出生的幼魚。由此，我們便可據而進一步把 VI 月的當中一個組成分布峯 ( $R_{1b}$ ) 划歸為前一年秋季出生的幼魚。把各個月份長度組成分布峯相繼者分別用實線和虛線連接起來，就構成了如圖 7 所示的春宗 ( $R_{1a}$ ) 和秋宗 ( $R_{1b}$ ) 幼魚生長的季節變化概念。

根據逐月幼魚耳石輪紋狀況的觀察結果，第一個年輪形成的時期為 IV—VI 月，主要形成時間與其他輪組相同，也是 V 月份。形成第一個年輪的長度分布範圍在 110—210 毫米（體長）之間；這個體長組成分布範圍和我們根據  $4^+$  和  $5^+$  魚耳石按 Lea 公式返算的第一輪體長範圍基本上是一致的（表 3）。必須指出的是大黃魚耳石的增長和體長增長並不是如 Lea 公式所表示的直線正比關係，但是在我們尚未進一步查明其確切關係前，暫且在低年魚中應用作為參考。

表 3 根據 4—5 輪組大黃魚耳石標本返算所得的第一輪體長組成(%)  
Table 3. The distribution of the theoretical body length of the first ring group,  
based on the results of examination of the otoliths of 4- and 5-ring groups and  
calculated according to Lea's formula

性別 <sup>1)</sup>	體長 (mm) <sup>2)</sup>										標本數 <sup>3)</sup>
	80	90	100	110	120	130	140	150	160	170	
♀	1.4	6.3	21.8	26.1	19.0	16.9	2.8	1.4	4.2	0	142
♂	0	10.7	18.4	25.2	20.4	10.7	8.7	2.9	1.9	1.0	103
♀ + ♂	1.2	9.4	20.7	25.4	19.1	13.7	5.1	2.0	3.1	0.4	256

Explanation: 1) Sex; 2) body length; 3) number of specimens.

同時，從耳石的觀察結果，也表明第一個年輪形成的時期僅僅是出現在 IV—VI 月份，第一個年輪形成時的長度組成範圍大約為 110—210 毫米，而在其餘時期和其他長度則沒有觀察到這種現象。因此，我們可以得出以下的初步論斷：不論是春宗和秋宗的幼魚，它們耳石上第一個年輪形成的時期均在 IV—VI 月，主要為 V 月，長度範圍則在 110—210 毫米左右；其次，春宗幼魚耳石上第一個年輪形成週期為一年，而秋宗幼魚則為一年半，較春宗延長半年之久，亦即秋宗所出生的幼魚須經過兩個冬天到第三年的春末夏初才形成第一個年輪。

從以上的研究結果所得初步結論，告訴我們考慮秋宗幼魚第一個年輪形成所需的时间對實踐上的意義也很重要，因為知道了這個規律在漁業實踐上的編制預報與魚羣偵察等問題中，計算魚羣年齡組成和世代的估計上就要把秋宗的個體按照耳石上的年輪

數目加上基數1，才是真正標示該個體的出生年份。同時，深入了解春、秋宗耳石上第一個年輪形成周期的差異原因，將可以對大黃魚幼魚的生活習性和發育生長規律獲得新的知識，也就是說秋宗幼魚的耳石為什麼在第二年的春、夏季不形成年輪，這就牽涉到研究魚類生長中的本質問題——構成年輪的原因及其影響因子問題。

### 結語

1. 我們採用耳石邊緣輪紋出現狀況與邊緣增長的周年變化和輪紋結構的綜合觀測分析方法，證明了大黃魚（包括春宗與秋宗）耳石內側平滑區在透射光明視野下所呈現的明亮寬帶（或入射光暗視野下黑色寬帶）和暗的窄帶（或白色窄帶）是交替生成的輪紋，其周期是每年形成一次。因此，以應用來這種暗窄帶可作為鑑定大黃魚年齡的通常所稱的“年輪”。

2. 暗窄帶（即通常所稱的年輪）的形成時間因個體的生活階段而表現出有規律的差異。大致可以分為三個階段：1—13 輪組新輪開始出現的時間為4月份，14—17 輪組為2或3月份，而18 輪組以上的高齡魚則早在1月份就已經出現了。但是主要的形成時間，所有各輪組均是在5—6月份。最晚的為7月份。

3. 春宗和秋宗幼魚第一輪形成的周期亦有很大的差異。春宗幼魚第一個年輪形成的周期為一年，而秋宗幼魚第一個年輪的形成周期則為一年半左右。我們認為進一步查明這一規律不僅對於春、秋宗幼魚的生長規律和年輪形成的原因及其主要影響因子具有重大的生物學意義；而且在漁業實踐上，對於魚羣偵察和漁業預報之中確定魚羣組成和世代數量估計及其變動原因的闡明上也有巨大的意義。

4. 耳石周年增長的規律，在一定程度上也反映了魚體季節生長的規律性。從我們資料分析的結果初步表明浙江沿海的大黃魚在夏、秋季生長迅速而冬、春季則為生長緩慢的時期。但是必須指出，由於資料的不足，關於春、秋宗之間的季節生長規律是否具有差異，有待進一步研究。

5. 為了易于掌握大黃魚年齡的鑑定，我們對各種輪紋的性狀和年輪與不同類型副輪的區別標誌作了較為詳細的描述。這些區別標誌的獲得是建立在大量觀察的基礎上歸納出來的。因此，我們認為根據文中所述的標誌來鑑定大黃魚的年齡，不會有特殊困難或發生重大錯誤。

### 參考文獻

- [1] 中國科學院海洋研究所，1959。大黃魚種族問題的初步研究。科學通報 1959 (9) : 697。
- [2] 徐恭昭、田明誠、鄭文蓮、羅秉征、薛繼曾、王可玲，1959。大黃魚的種族。太平洋西部漁業研究委員會第四次（河內）全體會議宣讀的論文。
- [3] 南海水產研究所，1958。廣東水產調查研究。(8) : 62—63。
- [4] 福建省水產科學研究所，1960。官井洋大黃魚漁場調查報告(1957—1959)。福建省水產科學研究所調查研究報告。22—32。

- 
- [5] 三栖 寛, 1958。东海、黄海产タチウオ資源の研究。第一報 年齢と成長について。西海区水产研究所研究報告 **15**: 2—13。
  - [6] 久保伊津男、吉原友吉, 1957。水产資源学。东京共立出版株式会社, 57—58 頁。
  - [7] Чугунова, И. И., 1959. Руководство по изучению возраста и роста рыб. Изд. Сов. Наука. 24—76.
  - [8] Graham, M., 1929. Studies of age determination in fish. Pl. II. *Fish. Invest. Min. Agri. Fish.*, Ser. II, **11** (3): 1—50.
  - [9] Irie, T., 1957. On the forming season of annual rings (opaque and translucent zones) in the otoliths of several marine teleosts. *Journ. Faculty fish. Ani. Husb.*, Hiroshima Univ. **1**(3): 311—319. (Abstract)
  - [10] Kubo, I., Umemoto, H., and Watanabe, K., 1953. A contribution to the fishery biology of a common cyprinid fish, *Hemibarbus barbus* (T. et S.). *Journ. Tokyo Univ. Fish.* **40** (1): 1—13.
  - [11] Le Cren, E. D., 1947. The determination of the age and growth of the perch (*Perca fluviatilis*) from the opercular bone. *Journ. Ani. Ecol.* **16** (2): 188—204.

# THE CYCLE OF RING-FORMATION ON THE OTOLITH OF THE LARGE YELLOW CROAKER, *PSEUDOSCIAENA CROCEA* (RICHARDSON), WITH SPECIAL REFERENCE TO AGE-DETERMINATION

XU GONG-ZHAO, LUO BING-ZHENG, WU HAO-ZHOU AND WANG KE-LING

(Institute of Oceanology, Academia Sinica)

## ABSTRACT

The otoliths from 3789 individuals, taken monthly from the Chekiang coast, during the period from September 1958 to December 1959 inclusive, were used in the present investigation.

Monthly observation on the marginal structure of the otoliths and terminal index of each ring group carried out over a period of one year confirmed that the rings on the otolith were formed annually (excluding the first ring of the autumn spawners), as there was a complete turning over of one sort margin to the other during a definite period of the year. It is therefore concluded that the otolith of the Large Yellow Croaker is a reliable index for age determination.

The opaque zone at the margin began to appear in January. Its percentage occurrence was highest in May and June, and fell to zero in July. However, the period of commencement of formation of the opaque zone varied regularly according to the age of the fish. It began to appear in April in the individuals with 1—13 rings, in February and March in those with 14—17 rings, and as early as in January in those with 18 rings onward.

A preliminary analysis of the monthly length frequency distribution of the young fish and of the marginal structure of the otoliths revealed that the first annual ring on the otoliths of the young fish of the spring spawners was formed one year after and that of the young fish of the autumn spawners a year and a half after being laid.

During the winter and spring the growth of the otolith was very slow, but during the summer and autumn it showed remarkable growth. It can be deduced that the growth rate of the present species also varies periodically, i.e., it grows slowly in the earlier half of the year, and remarkably in the latter half of the year.

In the present report, the distinction between the true annulus and the false annulus has also been described.